ESPACE DES MODULES DES FAISCEAUX DE RANG 2 SEMI-STABLES DE CLASSES DE CHERN $c_1=0,\ c_2=2$ ET $c_3=0$ SUR LA CUBIQUE DE \mathbb{P}^4

Stéphane Druel

1. Introduction

(1.1) Soient $X \subset \mathbb{P}^4$ une hypersurface cubique lisse et $\ell \subset X$ une droite de \mathbb{P}^4 . Soit X_ℓ la variété obtenue en éclatant ℓ dans X. La projection le long de ℓ induit un morphisme $X_\ell \stackrel{p}{\longrightarrow} \mathbb{P}^2$ dont les fibres sont les coniques qui sont coplanaires avec ℓ . Lorsque la droite ℓ est générique les fibres de p sont lisses ou réunion de deux droites distinctes. Le lieu de dégénérescence de p est alors une courbe plane lisse et connexe C_0 de degré 5. Soit C la variété des droites contenues dans X et incidentes à ℓ . Le morphisme $C \longrightarrow C_0$ est un revêtement étale double connexe. Soit i l'involution échangeant les deux feuillets dudit revêtement et notons encore i l'automorphisme induit sur la jacobienne JC. La variété de Prym associée au revêtement (C, C_0) est alors P = (Id - i)JC. C'est une variété abélienne principalement polarisée de dimension 5. Soient $A_1(X)$ le groupe des 1-cycles algébriques modulo l'équivalence rationnelle et $A \subset A_1(X)$ le sous-groupe des cycles algébriquement équivalents à zéro. L'application qui à $t \in C$ associe la classe de la droite correspondante $z_t \subset X_\ell$ dans A induit un isomorphisme de groupes $P \simeq A$. On démontre que pour toute variété lisse T de dimension pure $n \ge 1$ et tout n + 1-cycle z sur $X \times T$ l'application d'Abel-Jacobi qui à $t \in T$ associe la classe du cycle $z_t - z_{t_0}$ dans P, où $t_0 \in T$ est fixé, est algébrique ([Mu]). La jacobienne intermédiaire de X est définie par :

$$J(X) = (H^{2,1}(X))^*/\alpha(H_3(X,\mathbb{Z}))$$

où α est l'application donnée par intégration sur les cycles. C'est une variété abélienne principalement polarisée de dimension 5 isomorphe à la variété de Prym. Via cet isomorphisme, l'image du cycle $z_t - z_{t_0}$ par l'application d'Abel-Jacobi est la forme linéaire donnée par intégration sur le cycle Γ modulo le groupe $\alpha(H_3(X,\mathbb{Z}))$ où $\partial\Gamma = z_t - z_{t_0}$. On démontre enfin que l'application d'Abel-Jacobi induit un plongement de la surface de Fano de X dans J(X).

(1.2) Soient $(X, \mathcal{O}_X(1))$ une variété polarisée de dimension $n \geq 1$ et E un faisceau cohérent sur X de rang r. La pente $\mu(E)$ de E est définie par la formule :

$$\mu(E) = \frac{c_1(E)c_1(\mathcal{O}_X(1))^{n-1}}{r}$$

Le faisceau E est dit μ -semi-stable (resp. semi-stable) s'il est sans torsion et si pour tout sous-faisceau $L \subset E$ de rang 0 < r' < r on a $\mu(L) \le \mu(E)$ (resp. $\frac{\chi(L(n))}{r'} \le \frac{\chi(E(n))}{r}$ pour $n \gg 0$). Il est dit μ -stable (resp. stable) s'il est sans torsion et si pour tout sous-faisceau $L \subset E$ de rang 0 < r' < r on a $\mu(L) < \mu(E)$ (resp. $\frac{\chi(L(n))}{r'} < \frac{\chi(E(n))}{r}$ pour $n \gg 0$). On a les implications suivantes :

$$\mu$$
-stable \Longrightarrow stable \Longrightarrow semi-stable \Longrightarrow μ -semi-stable

Supposons enfin $Pic(X) \simeq \mathbb{Z}$ et soit F un faisceau réflexif de rang 2 sur X, de première classe de Chern $c_1(F) = 0$ ou $c_1(F) = -1$. Alors F est stable si et seulement si $h^0(F) = 0$ et si $c_1(F) = 0$ alors F est semi-stable si et seulement si $h^0(F(-1)) = 0$ ([H2] lemme 3.1).

(1.3) Soient $X \subset \mathbb{P}^4$ une hypersurface cubique lisse et $\mathcal{O}_X(1)$ le générateur très ample de $\operatorname{Pic}(X)$. Les \mathbb{Z} -modules $H^2(X,\mathbb{Z})$, $H^4(X,\mathbb{Z})$ et $H^6(X,\mathbb{Z})$ sont libres de rang 1. On identifie ainsi les classes de Chern d'un faisceau cohérent sur X à des entiers relatifs. Nous étudions ici l'espace des modules des faisceaux semi-stables de rang 2 sur X. Nous démontrons le : THÉORÈME $1.4.-Soient\ X\subset\mathbb{P}^4$ une hypersurface cubique lisse et B la surface de Fano de X. Alors l'espace des modules M_X des faisceaux semi-stables de rang 2 sur X de classe de Chern $c_1=0,\ c_2=2$ et $c_3=0$ est isomorphe à l'éclatement d'un translaté de la surface -B dans la jacobienne intermédiaire J(X).

(1.5) Soit X une variété projective lisse de dimension au moins 2 et F un faisceau réflexif de rang 2 sur X. S'il existe une section globale dont le lieu des zéros Z est de codimension pure 2 alors on a une suite exacte ([H2] cor. 1.5, prop. 1.9 et 1.10):

$$0 \longrightarrow \mathcal{O}_X \longrightarrow F \longrightarrow I_Z \otimes \det(F) \longrightarrow 0$$

- (1.6) Fibrés de rang 2 et construction de Serre.— Supposons X de dimension au moins 3. Soit L un fibré inversible sur X tel que $h^1(L^{-1}) = 0$ et $h^2(L^{-2}) = 0$. On a un isomorphisme $\operatorname{Ext}^1_X(I_Y \otimes L, \mathcal{O}_X) = H^0(\mathcal{O}_Y)$. Une sous-variété $Y \subset X$ est le lieu des zéros d'une section d'un fibré E de rang 2 sur X de déterminant L si et seulement si Y est localement intersection complète et $\omega_Y = (\omega_X \otimes L)_{|Y}$.
- (1.7) Soit $X \subset \mathbb{P}^4$ une hypersurface cubique lisse. Nous montrons que les fibrés vectoriels stables sont associés aux quintiques elliptiques normales tracées sur X par la construction de Serre (2.4), au moyen du :
- (1.8) Critère de Mumford-Castelnuovo.—Soit F un faisceau cohérent sur X tel que $h^i(F(-i)) = 0$ pour $i \ge 1$. Alors $h^i(F(k)) = 0$ pour $i \ge 1$ et $k \ge -i$ et F est engendré par ses sections globales ([Mum] lect. 14).
- (1.9) Nous montrons que les faisceaux stables non localement libres sont paramétrés par les coniques lisses tracées sur X et que les faisceaux strictement semi-stables sont paramétrés par les couples de droites de X (3.5). Nous montrons enfin que la seconde classe de Chern définit un morphisme vers la jacobienne intermédiaire J(X). Ce morphisme est birationnel ([I-M]) et identifie M_X à l'éclatement d'une surface lisse dans J(X) (4.8).
- (1.10) Soient F un faisceau cohérent sur X et $Y\subset X$ un sous-schéma fermé. La restriction de F à Y sera notée F_Y .

Remerciements.—Je tiens à exprimer toute ma gratitude à Arnaud Beauville pour m'avoir soumis ce problème et pour l'aide qu'il m'a apportée.

2. Fibrés de rang 2 stables sur la cubique de \mathbb{P}^4

LEMME 2.1.—Soient $X \subset \mathbb{P}^N$ une variété de dimension $n \geq 2$ et E un fibré de rang 2 μ -semi-stable de première classe de Chern $c_1(E) = 0$. Si $h^0(E) \neq 0$ alors le lieu des zéros d'une section globale non nulle est de codimension pure 2 ou bien ladite section ne s'annule pas et $c_2(E) = 0$.

Démonstration.—Le fibré E est de rang 2 et toute section non triviale s'annule donc en codimension au plus 2 ou bien ne s'annule pas. S'il existe une section partout non nulle alors E est extension de \mathcal{O}_X par L avec $c_1(L)=0$ et $c_2(E)=0$. Supposons qu'une section de E s'annule en codimension 1 et soit D la partie de codimension 1 du lieu des zéros de ladite section. On a ainsi $h^0(E(-D)) \neq 0$ et $\mu(\mathcal{O}_X(D)) \leq 0$ puisque E est semi-stable. Or D est effectif et on a donc D=0.

LEMME 2.2.—Soient $S \subset \mathbb{P}^3$ une surface cubique lisse et E un fibré de rang 2 μ -semi-stable de classes de Chern $c_1(E) = 0$ et $c_2(E) = 2$. Si $h^0(E) = 0$ alors $h^1(E(n)) = 0$ pour $n \in \mathbb{Z}$ et $h^2(E(n)) = 0$ pour $n \geq -1$. Si $h^0(E) \neq 0$ alors $h^0(E) = 1$, $h^1(E(n)) = 0$ pour $n \leq -2$ et $n \geq 1$, $h^1(E(-1)) = h^1(E) = 1$ et $h^2(E(n)) = 0$ pour $n \geq 0$.

Démonstration.—Supposons $h^0(E) = 0$.—On a $h^1(E) = h^0(E) = 0$ puisque $h^2(E) = h^0(E(-1)) = 0$ et $\chi(E) = 0$. On a enfin $h^2(E(-1)) = h^0(E) = 0$. Finalement $h^i(E(1-i)) = 0$ pour $i \ge 1$ et le lemme est une conséquence de (1.8).

Supposons $h^0(E) \neq 0$.—Le fibré E est semi-stable et le lieu des zéros d'une section globale non nulle est

donc de codimension pure 2 (2.1). On a donc une suite exacte (1.5):

$$0 \longrightarrow \mathcal{O}_S \longrightarrow E \longrightarrow I_Z \longrightarrow 0$$

où Z est un sous-schéma fermé de dimension 0 et de longueur 2. On en déduit en particulier $h^0(E)=1$ et $h^1(E)=1$ puisque $h^2(E)=h^0(E(-1))=0$ et $\chi(E)=0$. L'application naturelle $H^0(\mathcal{O}_S(1))\longrightarrow H^0(\mathcal{O}_Z(1))$ est surjective puisque $\ell(Z)=2$ et on a donc $h^1(I_Z(1))=0$. On en déduit $h^1(E(1))=0$. Finalement $h^i(E(2-i))=0$ pour $i\geq 1$ et le lemme est une conséquence de (1.8).

LEMME 2.3.—Soient $S \subset \mathbb{P}^3$ une surface cubique lisse et E un fibré de rang 2 μ -semi-stable de classes de Chern $c_1(E) = 0$ et $c_2(E) = 1$. Si $h^0(E) \neq 0$ alors $h^0(E) = 1$, $h^1(E(n)) = 0$ pour $n \in \mathbb{Z}$ et $h^2(E(n)) = 0$ pour $n \geq 0$.

 $D\acute{e}monstration$.—Le fibré E est semi-stable et le lieu des zéros d'une section globale non nulle est donc de codimension pure 2 (2.1). On a une suite exacte (1.5) :

$$0 \longrightarrow \mathcal{O}_S \longrightarrow E \longrightarrow I_Z \longrightarrow 0$$

où Z est un point de S. On en déduit $h^0(E)=1$. La suite exacte :

$$0 \longrightarrow \mathcal{O}_S(n) \longrightarrow E(n) \longrightarrow I_Z(n) \longrightarrow 0$$

donne $h^1(E(n)) = 0$ pour $n \ge 0$ puisque $h^1(\mathcal{O}_S(n)) = 0$ et $h^1(I_Z(n)) = 0$ pour $n \ge 0$. On en déduit $h^1(E(n)) = h^1(E(-n-1)) = 0$ pour n < 0. On a enfin $h^2(E(n)) = h^0(E(-1-n)) = 0$ pour $n \ge 0$.

THÉORÈME 2.4.—Soient $X \subset \mathbb{P}^4$ une cubique lisse et E un fibré de rang 2 stable de classes de Chern $c_1(E) = 0$ et $c_2(E) = 2$. Alors E(1) est engendré par ses sections globales.

Démonstration.—Soit $S \in |\mathcal{O}_X(1)|$ une section hyperplane générique de X tel que le fibré E_S soit μ -semi-stable relativement à la polarisation $\mathcal{O}_S(1)$ ([M] thm. 3.1).

Supposons $h^0(E_S)=0.-$ Il suffit de prouver $h^i(E(1-i))=0$ pour $i\geq 1$ (1.8). Considérons la suite exacte :

$$0 \longrightarrow E(n-1) \longrightarrow E(n) \longrightarrow E_S(n) \longrightarrow 0$$

On a $h^1(E(n)) \leq h^1(E(n-1))$ puisque $h^1(E_S(n)) = 0$ pour $n \in \mathbb{Z}$ (2.2). On en déduit $h^1(E(n)) = 0$ pour $n \in \mathbb{Z}$ puisque $h^1(E(n)) = 0$ pour $n \ll 0$ puis $h^2(E(n)) = 0$ pour $n \in \mathbb{Z}$. On a enfin $h^3(E(-2)) = h^0(E) = 0$.

Supposons $h^0(E_S) \neq 0$ et montrons que nous aboutissons à une contradiction.—Le fibré E(2) est alors engendré par ses sections globales. Il suffit en effet de prouver $h^i(E(2-i)) = 0$ pour $i \geq 1$ (1.8). Considérons à nouveau la suite exacte :

$$0 \longrightarrow E(n-1) \longrightarrow E(n) \longrightarrow E_S(n) \longrightarrow 0$$

On a $h^1(E(n)) \le h^1(E(n-1))$ pour $n \le -2$ puisque $h^1(E_S(n)) = 0$ pour $n \le -2$ (2.2). On en déduit $h^1(E(-n)) = 0$ pour $n \ge 2$ puisque $h^1(E(n)) = 0$ pour $n \ll 0$. Calculons $h^1(E(1))$. On a $h^2(E) = h^1(E(-2)) = 0$ et $h^3(E) = h^0(E(-2)) = 0$. Puisque $\chi(E) = 0$ on a donc $h^1(E) = 0$ et la suite exacte :

$$0 \longrightarrow E \longrightarrow E(1) \longrightarrow E_S(1) \longrightarrow 0$$

entraîne $h^1(E(1)) = h^1(E_S(1)) = 0$ (2.2). On a enfin $h^3(E(-2)) = h^0(E) = 0$. Le fibré E(2) est donc engendré par ses sections globales.

Si l'une des sections du fibré E(2) est partout non nulle alors E(2) est isomorphe au fibré $\mathcal{O}_X(2) \oplus \mathcal{O}_X(-2)$ et $c_2(E) = -12$ ce qui est absurde. On a donc une suite exacte (1.5):

$$0 \longrightarrow \mathcal{O}_X(-4) \longrightarrow E(-2) \longrightarrow I_C \longrightarrow 0$$

où $C \subset X$ est une courbe lisse de degré $c_2(E(2)) = 14$. On a $h^1(I_C) = 0$ et la courbe C est donc connexe. On a $\omega_C = \mathcal{O}_C(2)$ (1.6) et g(C) = 15. Enfin, la courbe C est non dégénérée puisque le fibré E est stable. Calculons $h^0(\mathcal{O}_C(1))$. La suite exacte :

$$0 \longrightarrow \mathcal{O}_X(-3) \longrightarrow E(-1) \longrightarrow I_C(1) \longrightarrow 0$$

entraîne l'égalité $h^1(I_C(1)) = h^1(E(-1))$ puisque $h^1(\mathcal{O}_X(-3)) = 0$ et $h^2(\mathcal{O}_X(-3)) = 0$. La suite exacte :

$$0 \longrightarrow E(-2) \longrightarrow E(-1) \longrightarrow E_S(-1) \longrightarrow 0$$

donne $h^1(E(-1)) = h^1(E_S(-1)) = 1$ (2.2) puisque $h^1(E(-2)) = 0$ et $h^2(E(-2)) = h^1(E) = 0$. On a donc $h^1(I_C(1)) = 1$. On déduit de la suite exacte :

$$0 \longrightarrow I_C(1) \longrightarrow \mathcal{O}_X(1) \longrightarrow \mathcal{O}_C(1) \longrightarrow 0$$

que $h^0(\mathcal{O}_C(1)) = 6$ puisque $h^0(I_C(1)) = 0$ et $h^1(\mathcal{O}_X(1)) = 0$. La courbe C est donc la projection dans \mathbb{P}^4 d'une courbe de Castelnuovo de \mathbb{P}^5 et le lemme 2.5 fournit la contradiction cherchée.

LEMME 2.5.—Soit $C \subset \mathbb{P}^5$ une courbe non dégénérée de genre 15 et de degré 14 (courbe de Castelnuovo). Soit $O \in \mathbb{P}^5$ ($O \notin C$) tel que la projection à partir de O induise un plongement de C dans \mathbb{P}^4 . L'image de C dans \mathbb{P}^4 n'est alors contenue dans aucune cubique lisse.

Démonstration.—La courbe C est contenue dans une surface irréductible $S \subset \mathbb{P}^5$ de degré 4. Ladite surface S et la courbe C sont ([A-C-G-H]) : ou bien

- \bullet la surface de Veronese et C est l'image d'une courbe plane de degré 7 par le plongement de Veronese, ou bien
- l'image de $S_{2k} = \mathbb{P}_{\mathbb{P}^1}(\mathcal{O}_{\mathbb{P}^1} \oplus \mathcal{O}_{\mathbb{P}^1}(-2k)), k \in \{0,1,2\}$, par le morphisme φ_k associé au système linéaire $|C_0 + (k+2)f|$ et $C \in |4C_0 + (4k+6)f|$, où C_0 est la section associée au fibré naturel $\mathcal{O}_{S_{2k}}(1)$ $(C_0^2 = -2k)$ et f une génératrice de la surface réglée S_{2k} . Pour $k \in \{0,1\}$ le morphisme φ_k est très ample, $S = \varphi_2(S_4)$ est un cône au-dessus d'une courbe rationnelle lisse de degré 4 et le morphisme φ_2 s'identifie à l'éclatement de $\varphi_2(S_4)$ en son sommet.

Notons π la projection considérée et $\pi(S)$ l'image de S par l'application rationnelle π . Si $\pi(S)$ est de dimension 1 alors S est un cône au dessus de C isomorphe à $\varphi_2(S_4)$ ce qui absurde puisque $g(C) \geq 1$. La variété $\pi(S)$ est donc de dimension 2. Si S est un cône alors son sommet et le point de projection sont donc distincts.

Supposons la courbe $C \subset \mathbb{P}^4$ contenue dans une cubique lisse X et notons $\overline{X} \subset \mathbb{P}^5$ le cône de sommet O et de base X.

Supposons que la cubique \overline{X} ne contienne pas la surface S. L'hypersurface \overline{X} découpe alors sur S une courbe de degré 12 et ne peut donc pas contenir la courbe C. La cubique \overline{X} contient donc la surface S. On en déduit en particulier que $\pi(S) \subset X$.

Supposons $O \in S$. Si S est l'une des deux surfaces $\varphi_k(S_{2k})$ avec $k \in \{0,1\}$ alors la génératrice f passant par O est contractée par π . Or C.f = 4 et π ne peut donc pas induire un plongement de C dans \mathbb{P}^4 . Si $S = \varphi_2(S_4)$ alors la génératrice f passant par O et le sommet de S est aussi contractée par π ce qui est à nouveau absurde puisque C.f = 4. Si S est la surface de Veronese alors l'application rationnelle $\mathbb{P}^2 \dashrightarrow \mathbb{P}^4$ obtenue est définie par le système linéaire des coniques passant par un point. Ce système linéaire induit un plongement de la surface de Hirzebruch \mathbb{F}_1 dans \mathbb{P}^4 dont l'image est une surface de degré S. Or S0 est la ladite surface est un diviseur de Cartier associé au fibré $\mathcal{O}_X(l)$ où S1 est un entier convenable. Son degré est donc S2. On en déduit que la surface S3 est une section hyperplane de S4, ce qui est absurde.

Il nous reste à traiter le cas où $O \notin S$. Notons d le degré de π . La surface $\pi(S)$ est donc de degré $\frac{4}{d}$. C'est un diviseur de Cartier associé au fibré $\mathcal{O}_X(l)$ où l est un entier convenable. Son degré est donc 3l ce qui constitue la contradiction cherchée puisque l'égalité 3ld = 4 est impossible avec l et d entiers.

Corollaire 2.6.-Le fibré E est associé à une quintique elliptique lisse non dégénérée par la construction de Serre.

 $D\acute{e}monstration.$ —Il est donné par l'extension (1.5):

$$0 \longrightarrow \mathcal{O}_X(-2) \longrightarrow E(-1) \longrightarrow I_C \longrightarrow 0$$

où C est une courbe lisse. On a en particulier $h^1(I_C) = 0$ et la courbe C est donc connexe. On a $\omega_C = \mathcal{O}_C$ (1.6) et la courbe C est donc une courbe elliptique de degré $c_2(E(1)) = 5$. Enfin la courbe C est linéairement normale puisque E est stable.

3. Faisceaux de rang 2 semi-stables sur la cubique de \mathbb{P}^4

PROPOSITION 3.1.—Soient X une cubique lisse de \mathbb{P}^4 et E un faisceau de rang 2 semi-stable de classes de Chern $c_1(E) = 0$, $c_2(E) = 2$ et $c_3(E) = 0$. Soit F le bidual de E. Alors ou bien E est localement libre ou bien F est localement libre de seconde classe de Chern $c_2(F) = 1$ et $h^0(F) = 1$ ou bien $F = H^0(F) \otimes \mathcal{O}_X$.

Démonstration.—Soit $S \in |\mathcal{O}_X(1)|$ une section hyperplane générique telle que E_S soit μ -semi-stable relativement à la polarisation $\mathcal{O}_S(1)$ ([M] thm 3.1) et telle que F_S soit isomorphe au bidual de E_S . Le faisceau F est μ -semi-stable. Le faisceau F_S est localement libre de rang 2 et μ -semi-stable de première classe de Chern $c_1(F_S) = 0$ ([H2]). Notons R le conoyau de l'inclusion canonique $E \subset F$. Le faisceau E est sans torsion et E est donc de dimension au plus 1. On a les formules $c_2(F_S) = c_2(E_S) + c_2(R_S) = 2 - \ell(R_S)$ et $\chi(F_S) = \ell(R_S)$. On en déduit la relation $h^0(F_S) = h^1(F_S) + \ell(R_S)$ puisque $h^2(F_S) = h^0(F_S(-1)) = 0$. Supposons $h^0(F_S) \ge 1$. Le lieu des zéros d'une section non nulle est ou bien vide ou bien de codimension pure 2 (2.1). S'il est vide alors le fibré F_S est trivial et s'il est de codimension pure 2 alors $h^0(F_S) = 1$. On a donc $\ell(R_S) \in \{0,1,2\}$ et $c_2 \in \{0,1,2\}$.

Considérons la suite exacte de restriction à une section hyperplane :

$$0 \longrightarrow F(n-1) \longrightarrow F(n) \longrightarrow F_S(n) \longrightarrow 0$$

On a $h^1(F_S(n)) = 0$ pour $n \le -2$ et $n \ge 1$ (2.2 et 2.3). On en déduit $h^1(F(n-1)) \ge h^1(F(n))$ pour $n \le -2$ et $h^2(F(n-1)) \le h^2(F(n))$ pour $n \ge 1$. Or $h^1(F(n)) = 0$ pour $n \ll 0$ ([H2] thm. 2.5) et $h^2(F(n)) = 0$ pour $n \gg 0$ et on a donc $h^1(F(n)) = 0$ pour $n \le -2$ $h^2(F(n)) = 0$ pour $n \ge 0$. On a enfin $h^3(F) = h^0(F^*(-2)) = h^0(F(-2)) = 0$ ([H2] prop. 1.10) et $h^0(F) \le h^0(F_S)$.

Supposons $\ell(R_S) = 0$ —Alors $c_2(F) = 2$ et $\chi(F) = \frac{c_3(F)}{2}$. On en déduit la formule $\frac{c_3(F)}{2} = h^0(F) - h^1(F)$. Or $c_3(F) \ge 0$ ([H2] prop. 2.6) et $h^0(F) \le h^0(F_S) \le 1$ et on a donc $c_3(F) = 0$ ou 2.

Si $c_3(F) = 0$ alors les faisceaux E et F sont canoniquement isomorphes et localement libres ([H2] prop. 2.6).

Si $c_3(F) = 2$ alors $h^0(F) = 1$ et $h^1(F) = 0$. On a $h^3(F(-1)) = h^0(F^*(-1)) = h^0(F(-1)) = 0$ ([H2] prop. 1.10) et la suite exacte :

$$0 \longrightarrow F \longrightarrow F(1) \longrightarrow F_S(1) \longrightarrow 0$$

donne $h^1(F(1)) = 0$ puisque $h^1(F_S(1)) = 0$ (2.2). On rappelle l'égalité $h^2(F) = 0$. Le faisceau F(2) est donc engendré par ses sections globales (1.8). Supposons qu'il existe une section de F(2) partout non nulle. Alors F est isomorphe au faisceau $\mathcal{O}_X(-2) \oplus \mathcal{O}_X(2)$ (1.5) ce qui est absurde puisque $c_3(F) = 2$. Le faisceau F(2) est localement libre en codimension 2 et une section générique dudit faisceau s'annule donc le long d'une courbe lisse C ne passant par aucun des points singuliers de F. On en déduit l'existence d'une suite exacte (1.5) :

$$0 \longrightarrow \mathcal{O}_X(-4) \longrightarrow F(-2) \longrightarrow I_C \longrightarrow 0$$

On en déduit $N_{C/X}^* = F_C(-2)$ et $\omega_C = \mathcal{O}_C(2)$. On vérifie enfin que la courbe C est connexe. On a en effet $h^1(F(-2)) = 0$ et donc $h^1(I_C) = 0$. On en déduit $h^0(\mathcal{O}_C) = 1$. Remarquons enfin que l'extension précédente n'est pas triviale puisque F est localement libre en codimension 2. Le faisceau F est donc localement libre puisque $\operatorname{Ext}^1_X(I_C, \mathcal{O}_X(-4)) \simeq H^0(\mathcal{O}_C) \simeq \mathbb{C}$ et $\omega_C = (\omega_X \otimes \mathcal{O}_X(4))_{|C|}$ (1.6). Ce dernier résultat est en contradiction avec l'égalité $c_3(F) = 2$.

Supposons $\ell(R_S) \geq 1$. On a donc $h^0(F_S) \geq 1$. Le lieu des zéros d'une section globale non nulle est ou bien vide ou bien de codimension pure 2 (2.1).

Supposons qu'il existe une section non nulle de F_S dont le lieu des zéros est de codimension pure 2. Alors $h^0(F_S)=1$. On en déduit $h^1(F_S)=0$ puis $\ell(R_S)=1$ et $c_2(F)=1$. On en déduit l'inégalité $\chi(F)=h^0(F)-h^1(F)=1+\frac{c_3(F)}{2}\leq 1-h^1(F)$ puis $c_3(F)=0$ puisque $c_3(F)\geq 0$ ([H2] prop. 2.6). Le faisceau F est donc localement libre ([H2] prop. 2.6) de seconde classe de Chern $c_2(F)=1$ et $h^0(F)=1$.

Supposons enfin qu'il existe une section du fibré F_S ne s'annulant pas auquel cas ledit fibré est isomorphe au fibré $H^0(F_S) \otimes \mathcal{O}_S$ et donc $\ell(R_S) = 2$ et $c_2(F) = 0$. On en déduit l'inégalité $\chi(F) = 0$

 $\frac{c_3(F)}{2} + 2 = h^0(F) - h^1(F) \le 2 - h^1(F)$. puis $c_3(F) = 0$ puisque $c_3(F) \ge 0$ ([H2] prop. 2.6) et $h^0(F) = 2$. Le faisceau F est donc localement libre ([H2] prop. 2.6). Supposons qu'il existe une section globale non nulle de F dont le lieu des zéros Z est non vide. Le schéma Z est de dimension pure 1 puisque $h^0(F(-1)) = 0$ et F est donc extension de I_Z par \mathcal{O}_X . On en déduit $h^0(F) = 1$ ce qui est absurde. Le faisceau F est donc isomorphe au fibré $H^0(F) \otimes \mathcal{O}_X$.

LEMME 3.2.—Soit R un faisceau cohérent sur \mathbb{P}^n $(n \geq 1)$ tel que $h^0(R(-1)) = 0$ et $\chi(R(n)) = n + 1$. Il existe alors une droite $\ell \subset \mathbb{P}^n$ telle que $R = \mathcal{O}_{\ell}$.

Démonstration.—Le faisceau R est de dimension 1 et on a donc $h^0(R) = h^1(R) + 1 \ge 1$. Soient $s \in H^0(R)$ une section non nulle et I_Z le noyau de l'application induite $\mathcal{O}_{\mathbb{P}^n} \longrightarrow R$. On a $h^0(\mathcal{O}_Z(-1)) = 0$ et Z est donc de dimension pure 1. Considérons une section hyperplane générique $S \in |\mathcal{O}_{\mathbb{P}^n}(1)|$. On a $\ell(R_S) = 1$ et l'inclusion $\mathcal{O}_{Z \cap S} \subset R_S$ est donc un isomorphisme. On en déduit que la composante de dimension 1 du cycle [Z] est une droite $\ell \subset \mathbb{P}^n$ et que le schéma Z est génériquement réduit le long de ℓ . Le noyau de l'application surjective $\mathcal{O}_Z \longrightarrow \mathcal{O}_\ell$ est de dimension zéro et donc trivial puisque $h^0(\mathcal{O}_Z(-1)) = 0$. On a donc $R = \mathcal{O}_\ell$ puisque ces deux faisceaux ont même polynôme caractéristique.

LEMME 3.3.—Soit R un faisceau cohérent sur \mathbb{P}^n $(n \geq 1)$ tel que $h^0(R(-1)) = 0$ et $\chi(R(n)) = 2n + 2$. Alors il existe deux droites $\ell_1 \subset \mathbb{P}^n$ et $\ell_2 \subset \mathbb{P}^n$ telles que R soit extension de \mathcal{O}_{ℓ_2} par \mathcal{O}_{ℓ_1} ou bien R(-1) est une thêta-caractéristique sur une conique lisse $C \subset \mathbb{P}^n$.

Démonstration.—Le faisceau R est de dimension 1 et on a donc $h^0(R) = h^1(R) + 2 \ge 2$. Soient $s \in H^0(R)$ une section non nulle et I_Z le noyau de l'application induite $\mathcal{O}_{\mathbb{P}^n} \longrightarrow R$. On a $h^0(\mathcal{O}_Z(-1)) = 0$ et Z est donc de dimension pure 1. Soit $S \in |\mathcal{O}_{\mathbb{P}^n}(1)|$ une section hyperplane générique. On a $0 < \ell(Z \cap S) \le \ell(R_S) = 2$. Notons Q le conoyau de l'inclusion $\mathcal{O}_Z \subset R$.

Supposons $\ell(Z \cap S) = 1$.—Le support du schéma Z est alors une droite ℓ_1 et ledit schéma est génériquement réduit le long de ℓ_1 . On a donc une application surjective $\mathcal{O}_Z \longrightarrow \mathcal{O}_{\ell_1}$ dont le noyau est de dimension zéro. Ledit noyau est en fait trivial puisque $h^0(\mathcal{O}_Z(-1)) = 0$. Enfin, on a $\chi(Q(n)) = n + 1$ et $h^0(Q(-1)) = 0$ et le lemme 3.2 permet de conclure.

Supposons $\ell(Z \cap S) = 2$ et Q non trivial.—On a $h^1(R(-1)) = 0$ et on a donc $h^1(R(k)) = 0$ pour $k \ge -1$ (1.8). On en déduit en particulier $h^0(R) = 2$ et $h^0(R(1)) = 4$. Considérons la suite exacte :

$$0 \longrightarrow \mathcal{O}_Z(1) \longrightarrow R(1) \longrightarrow Q(1) \longrightarrow 0$$

où Q est de dimension zéro. Le faisceau R(1) est engendré par ses sections globales (1.8) et l'application $H^0(R(1)) \longrightarrow H^0(Q(1))$ n'est donc pas identiquement nulle. On en déduit $h^0(\mathcal{O}_Z(1)) \leq 3$ et $h^0(I_Z) \geq n-2$. Il existe donc un plan $\mathbb{P}^2 \subset \mathbb{P}^n$ contenant le schéma Z. Notons J_Z l'idéal de Z dans ledit plan. On a $c_1(J_Z) = -2$ et on a donc une inclusion $J_Z \subset \mathcal{O}_{\mathbb{P}^2}(-2)$ qui induit une application surjective $\mathcal{O}_Z \longrightarrow \mathcal{O}_C$ où C est une conique. Son noyau est de dimension zéro et donc trivial puisque $h^0(\mathcal{O}_Z(-1)) = 0$. On a donc une suite exacte :

$$0 \longrightarrow \mathcal{O}_C \longrightarrow R \longrightarrow k(p) \longrightarrow 0$$

Si $p \notin C$ alors l'extension précédente est triviale ce qui est absurde puisque $h^0(R(-1)) = 0$. On a donc $p \in C$. Montrons que R est un \mathcal{O}_{C^-} module. Soit $f \in H^0(I_C(k))$ $(k \ge 0)$ l'équation d'une hypersurface de degré k contenant C. Considérons le diagramme commutatif suivant :

$$0 \qquad 0 \qquad 0$$

$$\downarrow \qquad \downarrow \qquad \downarrow$$

$$0 \longrightarrow \mathcal{O}_C(-k) \longrightarrow K(-k) \longrightarrow k(p)(-k)$$

$$\parallel \qquad \qquad \downarrow \qquad \parallel$$

$$0 \longrightarrow \mathcal{O}_C(-k) \longrightarrow R(-k) \longrightarrow k(p)(-k) \longrightarrow 0$$

$$\downarrow \times f \qquad \qquad \downarrow \times f \qquad \qquad \downarrow \times f$$

$$0 \longrightarrow \mathcal{O}_C \longrightarrow R \longrightarrow k(p) \longrightarrow 0$$

où les complexes horizontaux sont exacts. Si l'application $K \longrightarrow k(p)$ est nulle alors on a une inclusion $R(-k)/K(-k) \subset R$ avec R(-k)/K(-k) de dimension zéro ce qui est impossible puisque $h^0(R(-1)) = 0$. Ladite application est donc surjective et on en déduit que l'application $R(-1) \longrightarrow R$ est nulle. Le faisceau R est donc un \mathcal{O}_C -module. On vérifie alors qu'on a une suite exacte :

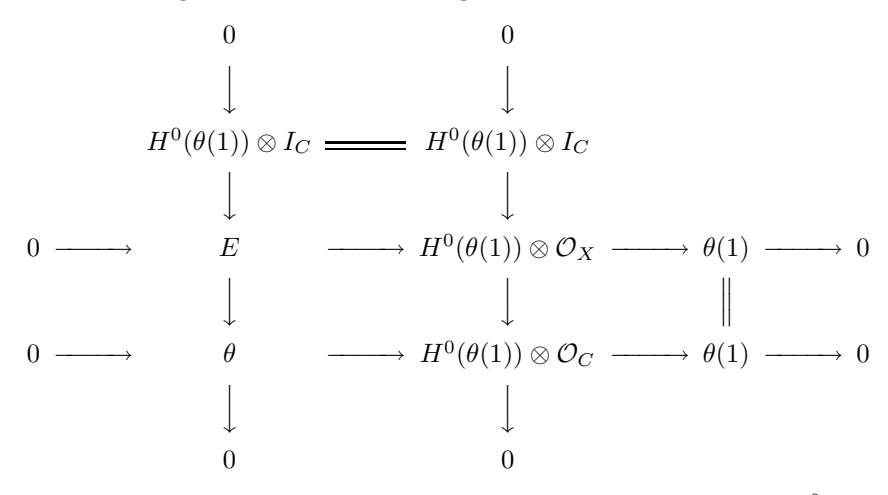
$$0 \longrightarrow I_p \longrightarrow H^0(R) \otimes \mathcal{O}_C \longrightarrow R \longrightarrow 0$$

où I_p est l'idéal de p dans C. Si C est une conique lisse alors R(-1) est la thêta-caractéristique sur C. Supposons C non lisse et soit $\ell \subset C$ une droite contenant p. L'inclusion $I_\ell \subset H^0(R) \otimes \mathcal{O}_C$ se factorise à travers l'inclusion $I_\ell \subset \mathcal{O}_C$ et on obtient ainsi une inclusion $\mathcal{O}_\ell \subset R$ dont le conoyau est également isomorphe au faisceau structural d'une droite (3.2).

Supposons $\ell(Z \cap S) = 2$ et Q = 0.—Le schéma Z_{red} est de degré au plus 2. S'il est de degré 2 ledit schéma est ou bien réunion de deux droites distinctes ou bien une conique lisse. On a alors une application surjective $\mathcal{O}_Z \longrightarrow \mathcal{O}_C$ dont le noyau est trivial si C est réunion de droites disjointes et supporté en un point sinon. Ce dernier cas est impossible puisque $h^0(\mathcal{O}_Z(-1)) = 0$. Si Z_{red} est de degré 1 alors Z_{red} est une droite $\ell \subset \mathbb{P}^n$ et on a une surjection $\mathcal{O}_Z \longrightarrow \mathcal{O}_\ell$ dont le noyau K vérifie $\chi(K(n)) = n + 1$ et $h^0(K(-1)) = 0$. Ce noyau est donc isomorphe au faisceau \mathcal{O}_ℓ (3.2).

LEMME 3.4.—Soient $X \subset \mathbb{P}^4$ une cubique lisse et θ une thêta-caractéristique sur une conique lisse $C \subset X$. On considére le faisceau E noyau de l'application surjective $H^0(\theta(1)) \otimes \mathcal{O}_X \longrightarrow \theta(1)$. Alors E est stable de classes de Chern $c_1(E) = 0$, $c_2(E) = 2$ et $c_3(E) = 0$.

Démonstration.—Le calcul des classes de Chern de E est immédiat. Soit $F \subset E$ un sous-faisceau de rang 1 de E. Le faisceau F est de la forme $I_Z(a)$ où $Z \subset X$ est un sous-schéma fermé de dimension au plus 1 et $a \in \mathbb{Z}$. On a un diagramme commutatif à lignes et colonnes exactes :



Notons F_0 le noyau de l'application induite $F \longrightarrow \theta(1)$. On a une inclusion $F_0 \subset H^0(\theta(1)) \otimes I_C$. Le faisceau $H^0(\theta(1)) \otimes I_C$ est μ -semi-stable de pente nulle et on a donc $c_1(F) = c_1(F_0) \leq c_1(H^0(\theta(1)) \otimes I_C) = 0$ puisque θ est de dimension 1.

Si $c_1(F) < 0$ on a $\chi(F(n)) < \frac{1}{2}\chi(E(n))$ pour $n \gg 0$ par un calcul classique. Si $c_1(F) = 0$ alors $F = I_Z$ et on a donc $I_Z^* = \mathcal{O}_X$. L'inclusion $I_Z \subset H^0(\theta(1)) \otimes \mathcal{O}_X$ déduite de l'inclusion $E \subset H^0(\theta(1)) \otimes \mathcal{O}_X$ est donc donnée par une section non nulle $s \in H^0(\theta(1))$. L'application $I_Z \longrightarrow \theta(1)$ associe donc la fonction f à la section $f|_{C}s$. La section s étant génériquement non nulle on en déduit $I_Z \subset I_C$ et donc $\chi(I_Z(n)) \leq \chi(I_C(n)) < \frac{1}{2}\chi(E(n))$ pour $n \gg 0$ puisque $\chi(I_C(n)) = \frac{n^3}{2} + \frac{3n^2}{2}$ et $\frac{\chi(E(n))}{2} = \frac{n^3}{2} + \frac{3n^2}{2} + n$.

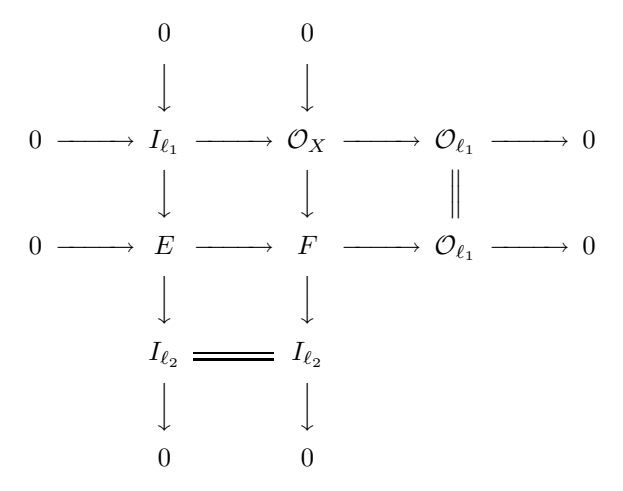
THÉORÈME 3.5.—Soient X une cubique lisse de \mathbb{P}^4 et E un faisceau de rang 2 semi-stable de classes de Chern $c_1(E)=0$, $c_2(E)=2$ et $c_3(E)=0$. Si E est stable alors ou bien E est localement libre ou bien E est associé à une conique lisse $C\subset X$ (3.4). Si E est semi-stable non stable alors le gradué de E est somme directe des idéaux de deux droites de X.

Démonstration.—Soit F le bidual de E et R le conoyau de l'injection canonique $E \subset F$. Le faisceau E est localement libre ou bien F est localement libre de seconde classe de Chern $c_2(F) = 1$ et $h^0(F) = 1$

ou bien $F = H^0(F) \otimes \mathcal{O}_X$ (3.1). On a $\chi(E(n)) = n^3 + 3n^2 + 2n$ et $\chi(\mathcal{O}_X(n)) = \frac{n^3}{2} + \frac{3n^2}{2} + 2n + 1$ et on en déduit $h^0(E) = 0$ puisque E est semi-stable.

Supposons E localement libre.—On a $h^0(E)=0$ puisque E est semi-stable et le fibré E est donc stable

Supposons F localement libre de seconde classe de Chern $c_2(F)=1$ et $h^0(F)=1$.— Alors $\chi(R(n))=n+1$. Soit $s\in H^0(F)$ une section non nulle. Elle s'annule le long d'une droite $\ell_2\subset X$ (2.1). On a $h^0(E)=0$ et la section s de F induit une application non nulle $\mathcal{O}_X\longrightarrow R$. Notons I_Z le noyau de l'application précédente. Le schéma Z est de dimension 1. Sinon on aurait une inclusion $I_Z\subset E$ avec $\chi(I_Z(n))=\frac{n^3}{2}+\frac{3n^2}{2}+2n+1-\ell(Z)$ ce qui est impossible par semi-stabilité de E. Soit $S\in |\mathcal{O}_X(1)|$ une section hyperplane générique. L'inclusion $\mathcal{O}_{Z\cap S}\subset R_S$ est un isomorphisme puisque $\ell(R_S)=1$. Aussi la composante de dimension 1 du support de Z est une droite ℓ_1 et on a donc une application surjective $\mathcal{O}_Z\longrightarrow \mathcal{O}_{\ell_1}$. On en déduit $R=\mathcal{O}_{\ell_1}$ puisque ces deux faisceaux ont même polynôme caractéristique. L'application $\mathcal{O}_X\longrightarrow \mathcal{O}_{\ell_1}$ est non nulle et les droites ℓ_1 et ℓ_2 sont donc disjointes. Considérons le diagramme commutatif à lignes et colonnes exactes :



On en déduit que le faisceau E est semi-stable non stable et que son gradué est $I_{\ell_1} \oplus I_{\ell_2}$.

Supposons $F = H^0(F) \otimes \mathcal{O}_X$. On a $\chi(R(n)) = 2n + 2$ et $h^0(E) = 0$ puisque E est semi-stable. On en déduit en particulier $h^0(R) \geq 2$. Considérons une section hyperplane générique $S \in |\mathcal{O}_X(1)|$. On a la suite exacte :

$$0 \longrightarrow E_S \longrightarrow H^0(X, F) \otimes \mathcal{O}_S \longrightarrow R_S \longrightarrow 0$$

L'application $H^0(H^0(X,F)\otimes \mathcal{O}_S)\longrightarrow H^0(R_S)$ n'est pas nulle puisque le morphisme $H^0(F)\otimes \mathcal{O}_S\longrightarrow R_S$ est surjectif. On a donc $h^0(E_S)\leq 1$. Si $h^0(E_S)=0$ alors l'application $H^0(F_S)\longrightarrow H^0(R_S)$ est un isomorphisme et l'application $H^0(F_S)\otimes H^0(\mathcal{O}_S(n))\longrightarrow H^0(R_S(n))$ est surjective pour tout $n\geq 0$ puisqu'il existe une section hyperplane de S évitant le support de R_S . Si $h^0(E_S)=1$ alors le quotient $H^0(F_S)/H^0(E_S)$ est de dimension 1 et on a une application surjective $(H^0(F_S)/H^0(E_S))\otimes \mathcal{O}_S\longrightarrow R_S$. Or $\ell(R_S)=2$ et $\mathcal{O}_S(1)$ est très ample et l'application $(H^0(F_S)/H^0(E_S))\otimes H^0(\mathcal{O}_S(n))\longrightarrow H^0(R_S(n))$ est donc surjective pour $n\geq 1$. Il en résulte que l'application $H^0(F_S)\otimes H^0(\mathcal{O}_S(n))\longrightarrow H^0(R_S(n))$ est également surjective. On a donc finalement $h^1(E_S(n))=0$ pour $n\geq 1$ puisque $h^1(\mathcal{O}_S(n))=0$ pour $n\geq 1$. La suite exacte :

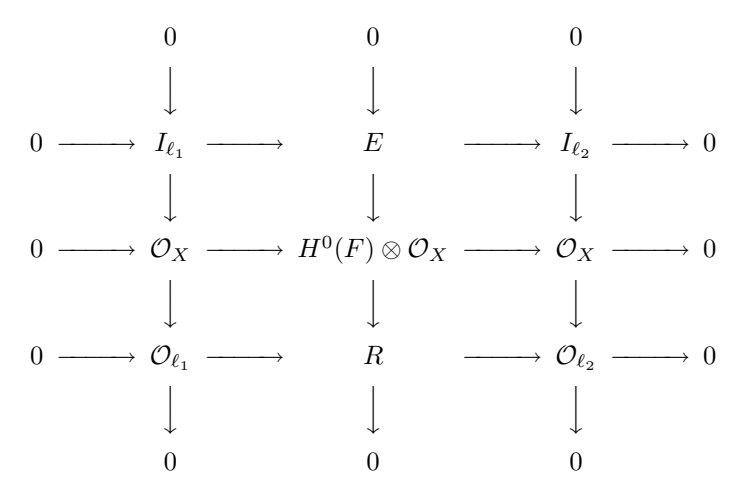
$$0 \longrightarrow E(n-1) \longrightarrow E(n) \longrightarrow E_S(n) \longrightarrow 0$$

donne $h^2(E(n-1) \le h^2(E(n))$ pour $n \ge 1$. On a donc $h^2(E(n)) = 0$ pour $n \ge 0$ puisque $h^2(E(n)) = 0$ pour $n \gg 0$. En particulier $h^2(E) = 0$. On déduit de la suite exacte :

$$0 \longrightarrow E \longrightarrow H^0(X, F) \otimes \mathcal{O}_X \longrightarrow R \longrightarrow 0$$

l'égalité $h^3(E) = 0$. Mais $\chi(E) = 0$ et on a donc $h^1(E) = 0$. On en déduit $h^0(R) = 2$ et l'inclusion $H^0(F) \subset H^0(R)$ est donc un isomorphisme. Montrons alors que l'application de restriction $H^0(R) \longrightarrow H^0(R_S)$ est injective. Supposons le contraire. Il existe donc une section $s \in H^0(R)$ non nulle dont l'image dans $H^0(R_S)$ est nulle. Notons I_Z le noyau de l'application $\mathcal{O}_X \longrightarrow R$ définie par le section s

et Q le conoyau de l'inclusion $\mathcal{O}_Z \subset R$. Par hypothèse, l'application $\mathcal{O}_{Z \cap S} \longrightarrow R_S$ est nulle et on a donc $R_S = Q_S$. Le faisceau Q est donc de dimension 1 et $c_2(Q) = c_2(R)$. Le schéma Z est donc de dimension 0. Or $\chi(I_Z(n)) = \frac{n^3}{2} + \frac{3n^2}{2} + 2n + 1 - \ell(Z)$ ce qui est en contradiction avec la semi-stabilité de E puisqu'on a une inclusion $I_Z \subset E$. L'application de restriction $H^0(R) \longrightarrow H^0(R_S)$ est injective et on a donc $h^0(R(-1)) = 0$. Le faisceau R(-1) est donc ou bien une thêta-caractéristique sur une conique lisse $C \subset X$ auquel cas E est stable (3.4) ou bien il existe deux droites $\ell_1 \subset X$ et $\ell_2 \subset X$ telles que R soit extension de \mathcal{O}_{ℓ_1} par \mathcal{O}_{ℓ_2} (3.3) auquel cas on a un diagramme commutatif à lignes et colonnes exactes :



On en déduit que le gradué de E est le faisceau $I_{\ell_1} \oplus I_{\ell_2}$.

4. Espace des modules des faisceaux semi-stables sur la cubique de \mathbb{P}^4

(4.1) Soit $X \subset \mathbb{P}^4$ une hypersurface cubique lisse et soit (Def(E),0) l'espace des déformations verselles d'un faisceau cohérent E sur X. L'espace tangent à Def(E) en 0 s'identifie à l'espace vectoriel $\operatorname{Ext}^1_X(E,E)$. Le germe analytique Def(E) est lisse en 0 si $\operatorname{Ext}^2_X(E,E) = 0$.

LEMME 4.2.—Soient $X \subset \mathbb{P}^4$ une cubique lisse et θ une thêta-caratéristique sur une conique lisse $C \subset X$. Soit E le noyau de la surjection $H^0(\theta(1)) \otimes \mathcal{O}_X \longrightarrow \theta(1)$. Alors $Ext_X^2(E,E)$ est nul et l'espace vectoriel complexe $Ext_X^1(E,E)$ est de dimension 5.

Démonstration.—Soit F le noyau de la surjection $\mathcal{O}_{\mathbb{P}^4} \oplus \mathcal{O}_{\mathbb{P}^4} \longrightarrow \theta(1)$. On vérifie que le faisceau F(1) est engendré par ses sections globales en utilisant le critère de Mumford-Castelnuovo (1.8). On en déduit que le faisceau E(1) est également engendré par ses sections globales puisqu'on a un morphisme surjectif $F_{|X}(1) \longrightarrow E(1)$. On a donc $\operatorname{Hom}_X(E,\theta(-1)) \subset \operatorname{Hom}_X(H^0(E(1)) \otimes \mathcal{O}_X(-1),\theta(-1)) = 0$. Considérons la suite exacte :

$$\operatorname{Ext}_X^2(H^0(\theta(1))\otimes \mathcal{O}_X, E) \longrightarrow \operatorname{Ext}_X^2(E, E) \longrightarrow \operatorname{Ext}_X^3(\theta(1), E)$$

On a $\operatorname{Ext}_X^2(H^0(\theta(1)) \otimes \mathcal{O}_X, E) \simeq H^0(\theta(1)) \otimes H^2(E) = 0$ et $\operatorname{Ext}_X^3(\theta(1), E) \simeq \operatorname{Hom}_X(E, \theta(-1)) = 0$ et donc $\operatorname{Ext}_X^2(E, E) = 0$. Enfin, $\operatorname{Ext}_X^3(E, E) \simeq \operatorname{Hom}_X(E, E(-2))^* = 0$ et $\operatorname{Hom}_X(E, E) \simeq \mathbb{C}$. L'espace vectoriel complexe $\operatorname{Ext}_X^1(E, E)$ est donc de dimension 5 puisque $\chi(E, E) = \sum (-1)^i \operatorname{Ext}_X^i(E, E) = -4$.

LEMME 4.3.—Soit $X \subset \mathbb{P}^4$ une cubique lisse et soient $\ell_1 \subset X$ et $\ell_2 \subset X$ deux droites. Le groupe $\operatorname{Ext}^2_X(I_{\ell_1},I_{\ell_2})$ est nul et l'espace vectoriel complexe $\operatorname{Ext}^1_X(I_{\ell_1},I_{\ell_2})$ est de dimension 1 si $\ell_1 \neq \ell_2$ et de dimension 2 si $\ell_1 = \ell_2$.

 $D\acute{e}monstration.$ —On a un isomorphisme $\operatorname{Ext}_X^3(\mathcal{O}_{\ell_1},I_{\ell_2}) \simeq \operatorname{Hom}_X(I_{\ell_2},\mathcal{O}_{\ell_1}(-2))^*$. Or le faisceau $I_{\ell_2}(1)$ est engendré par ses sections globales et on a donc $\operatorname{Hom}_X(I_{\ell_2},\mathcal{O}_{\ell_1}(-2)) \subset \operatorname{Hom}_X(H^0(I_{\ell_2}(1)) \otimes \mathcal{O}_X(-1),\mathcal{O}_{\ell_1}(-2)) = 0$. Considérons la suite exacte :

$$\operatorname{Ext}_X^2(\mathcal{O}_X,I_{\ell_2}) \longrightarrow \operatorname{Ext}_X^2(I_{\ell_1},I_{\ell_2}) \longrightarrow \operatorname{Ext}_X^3(\mathcal{O}_{\ell_1},I_{\ell_2})$$

On en déduit $\operatorname{Ext}_X^2(I_{\ell_1},I_{\ell_2}) = 0$ puisque $\operatorname{Ext}_X^2(\mathcal{O}_X,I_{\ell_2}) = 0$. On a $\operatorname{Ext}_X^3(I_{\ell_1},I_{\ell_2}) \simeq \operatorname{Hom}_X(I_{\ell_2},I_{\ell_1}(-2))^* = 0$ et $\chi(I_{\ell_1},I_{\ell_2}) = \sum (-1)^i \operatorname{Ext}_X^i(I_{\ell_1},I_{\ell_2}) = \operatorname{Ext}_X^0(I_{\ell_1},I_{\ell_2}) - \operatorname{Ext}_X^1(I_{\ell_1},I_{\ell_2}) = \chi(I_{\ell_1},I_{\ell_1}) = -1$. L'espace

vectoriel complexe $\operatorname{Ext}_X^1(I_{\ell_1}, I_{\ell_2})$ est donc de dimension 1 si $\ell_1 \neq \ell_2$ et de dimension 2 si $\ell_1 = \ell_2$ puisque $\operatorname{Hom}_X(I_{\ell_1}, I_{\ell_2}) = 0$ si $\ell_1 \neq \ell_2$ et $\operatorname{Hom}_X(I_{\ell_1}, I_{\ell_2}) \simeq \mathbb{C}$ si $\ell_1 = \ell_2$.

(4.4) Soient $N \geq 1$ un entier et V un espace vectoriel complexe. Soient Q le schéma de Hilbert-Grothendieck paramétrant les quotients $V \otimes \mathcal{O}_X(-N) \longrightarrow E$ sur X de rang 2 et de classes de Chern $c_1(E) = 0$, $c_2(E) = 2$, $c_3(E) = 0$ et L la polarisation naturelle ([S]). Le groupe G = PGL(V) agit sur Q et une puissance convenable de L est G-linéarisée. Soit Q_c^{ss} l'ouvert des points PGL(V)-semi-stables correspondants à des quotients sans torsion et Q_c l'adhérence de Q_c^{ss} dans Q. Lorsque l'entier N et l'espace vectoriel V sont convenablement choisis les propriétés suivantes sont satisfaites. L'application $V \otimes \mathcal{O}_X \longrightarrow E(N)$ induit un isomorphisme $V \simeq H^0(E(N))$ et $h^i(E(k)) = 0$ pour $k \geq N$ et $i \geq 1$ et pour tout quotient E de Q_c . Le point $[E] \in Q_c$ est PGL(V)-semi-stable si et seulement si le faisceau E est semi-stable si et seulement si $[E] \in Q_c^{ss}$. Le stabilisateur de [E] dans GL(V) s'identifie au groupe des automorphismes du faisceau E et l'espace des modules M est alors le quotient de Mumford :

$$Q_c^{ss}//G$$

Lemme 4.5.—Sous les hypothèses précédentes, le schéma Q_c^{ss} est lisse.

Démonstration.—L'espace tangent à Q_c^{ss} en un point [E] est isomorphe à $\operatorname{Hom}_X(F,E)$ où F est le noyau de l'application $V \otimes \mathcal{O}_X(-N) \longrightarrow E$. Le schéma Q_c^{ss} est lisse en ce point si $\operatorname{Ext}_X^1(F,E) = 0$. Considérons la suite exacte :

$$\operatorname{Ext}_X^1(V \otimes \mathcal{O}_X(-N), E) \longrightarrow \operatorname{Ext}_X^1(F, E) \longrightarrow \operatorname{Ext}_X^2(E, E)$$

On en déduit une inclusion $\operatorname{Ext}^1_X(F,E) \subset \operatorname{Ext}^2_X(E,E)$ puisque $h^1(E(N)) = 0$. Il suffit donc de prouver $\operatorname{Ext}^2_X(E,E) = 0$. Si E est stable et localement libre alors le résultat est démontré par [M-T] (lemme 2.7). Si E est stable non localement libre alors l'annulation cherchée est donnée par le lemme 4.2. Si E est strictement semi-stable alors E est extension de I_{ℓ_2} par I_{ℓ_1} où $\ell_1 \subset X$ et $\ell_2 \subset X$ sont deux droites. L'annulation cherchée résulte alors facilement du lemme 4.3.

THÉORÈME 4.6.-Soit $X \subset \mathbb{P}^4$ une hypersurface cubique lisse. L'espace des modules M_X des faisceaux semi-stables de rang 2 sur X de classes de chern $c_1 = 0$, $c_2 = 2$ et $c_3 = 0$ est lisse de dimension 5.

 $D\acute{e}monstration.-$ Soient $x\in Q^{ss}_c$ et E le faisceau correspondant. Soit $Q^s_c\subset Q_c$ l'ouvert des faisceaux stables et M^s_X l'ouvert des classes d'isomorphismes de faisceaux stables. Le schéma Q^s_c est un espace principal homogène sous G au dessus de M^s_X et M^s_X est donc lisse (4.5). Il nous reste à étudier M_X en $E=I_{\ell_1}\oplus I_{\ell_2}$ où $\ell_1\subset X$ et $\ell_2\subset X$ sont deux droites (3.5). L'orbite O(x) du point x sous G est fermée. Son stabilisateur G_x est un groupe réductif et il existe un sous-schéma affine $W\subset Q^{ss}_c$ passant par x localement fermé et stable sous l'action de G_x tel que le morphisme $W//G_x\longrightarrow Q^{ss}_c//G$ soit étale ([L]). Soit (W,x) le germe de W en x et soit F la restriction à $X\times (W,x)$ du quotient tautologique sur $X\times Q$. Alors ((W,x),F) est un espace de déformation verselles pour le faisceau E ([O] prop. 1.2.3). Le germe W est donc lisse en x (4.3) et puisque le morphisme $W//G_x\longrightarrow Q^{ss}_c//G$ est étale il suffit donc prouver que le quotient $W//G_x$ est lisse en [x]. Or il existe un morphisme G_x -linéaire $(W,x)\longrightarrow (T_xW,0)$ étale en x tel que le morphisme induit $W//G_x\longrightarrow T_xW//G_x$ soit étale en [x] ([L]). Il suffit donc de prouver que le quotient $T_xW//G_x$ est lisse en 0.

Supposons les droites ℓ_1 et ℓ_2 distinctes. L'espace tangent $T_xW = \operatorname{Ext}_X^1(E, E) = \bigoplus_{i,j} \operatorname{Ext}_X^1(I_{\ell_i}, I_{\ell_j})$ est de dimension 6 (4.3) et $G_x = G_m \times G_m$ agit sur ledit espace par la formule ([O] lemme 1.4.16):

$$(t,t').(\sum_{i,j} e_{i,j}) = e_{1,1} + \frac{t}{t'}e_{1,2} + \frac{t'}{t}e_{2,1} + e_{2,2}$$

On vérifie facilement que le quotient $T_xW//G_x$ est isomorphe à l'espace affine \mathbb{A}^5 et en particulier lisse en 0

Supposons les droites ℓ_1 et ℓ_2 confondues et notons ℓ cette droite. L'espace tangent $T_xW=\operatorname{Ext}^1_X(E,E)$ est de dimension 8 (4.3) et $G_x=PGL(2)$. Posons $T=\operatorname{Ext}^1_X(I_\ell,I_\ell)$ et soit U un espace vectoriel de dimension 2. Le groupe G_x agit sur $T_xW=T\otimes\operatorname{End}(U)$ par conjugaison sur $\operatorname{End}(U)$ ([O] lemme 1.4.16). Le quotient $T_x//G_x$ est isomorphe à l'espace affine \mathbb{A}^5 ([La] III cas 2) et en particulier lisse en 0.

LEMME 4.7.-Soient $X \subset \mathbb{P}^4$ une cubique lisse et M_X l'espace des modules des faisceaux de rang 2

semi-stables de classes de Chern $c_1 = 0$, $c_2 = 2$ et $c_3 = 0$. Le sous-schéma localement fermé de M_X des faisceaux stables non localement libres est irréductible de dimension 4 et le sous-schéma fermé de M_X des faisceaux strictement semi-stables est également irréductible de dimension 4.

Démonstration.—Soient B la surface de Fano de X et $Z \subset X \times B$ la variété d'incidence. La variété Z est lisse et irréducible de dimension 3 et le morphisme $Z \longrightarrow B$ induit par la seconde projection fait de Z un fibré en droites projectives localement trivial pour la topologie de Zariski. Notons X_Z la variété obtenue en éclatant Z dans le produit $X \times B$ et notons p et q les morphismes induits sur X et B respectivement. La fibre du morphisme q au-dessus d'un point $[\ell] \in B$ s'identifie à X_{ℓ} (1.1). Soit Q le fibré de rang 3 sur B dont la fibre au-dessus d'un point $[\ell] \in B$ est l'ensemble des équations des hyperplans de \mathbb{P}^4 contenant la droite ℓ . Le morphisme surjectif naturel $q^*Q \to p^*\mathcal{O}_X(1)$ induit un morphisme propre et dominant $X_Z \xrightarrow{c} \mathbb{P}_B(Q)$. Le morphisme $p \times c$ induit un plongement de X_Z dans $X \times \mathbb{P}_B(Q)$ au-dessus de $\mathbb{P}_B(Q)$. L'ensemble des points de $\mathbb{P}_B(Q)$ est en bijection ensembliste avec l'ensemble des coniques tracées sur X. Soit $U \subset \mathbb{P}_B(Q)$ l'ouvert des coniques lisses et soit π la projection de $\mathbb{P}_B(Q)$ sur B. Soit $x \in U$ et $C_x = c^{-1}(x) \subset X$ la conique correspondante. La conique C_x engendre un plan de \mathbb{P}^4 dont l'intersection résiduelle avec X est la droite $\pi(x) = [\ell_x]$. Soit $Y = (c^{-1}(U) \cap Z_U)_{red} \subset c^{-1}(U) \subset U \times \mathbb{P}^4$ où $Z_U = Z \times_B U$. Le morphisme induit $Y \longrightarrow U$ est alors fini de degré 2. La fibre du morphisme précédent au dessus d'un point $x \in U$ est ensemblistement l'intersection $C_x \cap \ell_x$. Supposons Y irréductible. Le schéma $c^{-1}(U) \times_U Y$ posséde une section au dessus de Y. Ladite section détermine un morphisme quasifini $Y \longrightarrow M_X$ dont l'image est précisément le sous-schéma localement fermé des faisceaux stables non localement libres (3.4). Le lemme est donc démontré dans ce cas. Si Y n'est pas irréductible alors le morphisme c posséde une section au-dessus de l'ouvert U et l'argument précédent s'applique directement.

Les faisceaux strictement semi-stables sont paramétrés par les couples de droites de X (3.5). Or on a un morphisme quasi-fini $B \times B \longrightarrow M_X$ dont l'image est le fermé des faisceaux strictement semi-stables. La surface B est irréductible et ledit fermé l'est donc également.

Théorème 4.8.—Soient $X \subset \mathbb{P}^4$ une cubique lisse et M_X l'espace des modules des faisceaux de rang 2 semi-stables de classes de Chern $c_1 = 0$, $c_2 = 2$ et $c_3 = 0$. Soit B la surface de Fano de X. Alors M_X est isomorphe à l'éclatement d'un translaté de la surface -B dans la jacobienne intermédiaire de X.

Démonstration.—Soit $U \subset M_X$ l'ouvert des fibrés vectoriels stables ; M_X/U est de dimension 4 (3.5 et 4.7). L'espace des modules M_X est lisse de dimension 5 (4.6) et l'ouvert U est donc dense. La variété M_X est donc irréductible (2.6 et [I-M] cor. 5.1).

L'espace des modules M_X est le quotient de mumford $Q_c^{ss}//G$ où Q_c^{ss} est lisse (4.5). Soit \mathcal{E} une famille universelle sur $Q_c^{ss} \times X$. Fixons $t_0 \in Q_c^{ss}$. L'application

$$\begin{array}{ccc} Q_c^{ss} & \to & J(X) \\ t & \mapsto & c_2(\mathcal{E}_t) - c_2(\mathcal{E}_{t_0}) \end{array}$$

est algébrique (1.1) et équivariante sous l'action du groupe G. On en déduit un morphisme que nous noterons encore c_2 de M_X vers J(X). Ce morphisme est birationnel ([I-M] thm. 3.2) et induit un isomorphisme par restriction à l'ouvert des fibrés stables (2.6 et [M-T]).

Les variétés M_X et J(X) sont lisses et le lieu exceptionnel D de c_2 est donc de codimension pure 1. Le diviseur D a au plus deux composantes irréductibles. La restriction de c_2 au diviseur des faisceaux strictement semi-stables est génériquement finie et le morphisme c_2 est donc un isomorphisme au point générique du diviseur considéré.

La grassmanienne des plans de \mathbb{P}^4 est rationnelle et les cubiques planes tracées sur X sont donc toutes rationnellement équivalentes. Soient C_0 et C_1 deux coniques tracées sur X et ℓ_0 et ℓ_1 les intersections résiduelles respectives des plans des coniques avec X. On a donc $C_1 = C_0 + \ell_0 - \ell_1$ dans J(X). Si E est un faisceau associé à une conique $C \subset X$ (3.4) alors $c_2(E) = C$. On en déduit que le diviseur adhérence des faisceaux stables non localement libres est contracté sur un translaté de -B dans J(X). Ce diviseur est irréductible (4.7) et M_X est donc isomorphe à l'éclatement d'un translaté de -B dans J(X) ([L] thm. 2).

Références

- [A-C-G-H] E. Arbarello, M. Cornalba, P. Griffits, J. Harris, *Geometry of Algebraic curves I*, Grundleheren der math. Wissenschaften, vol. 267, Springer Verlag (1985).
- [H1] R. Hartshorne, Stable vector bundles of rank 2 on \mathbb{P}^3 , Math. Ann. 238 (1978), 229-280.
- [H2] R. Hartshorne, Stable reflexives sheaves, Math. Ann. 254 (1980), 121-176.
- [I-M] A. Iliev, D. Markushevich, The Abel-Jacobi map for a cubic threefold and periods of Fano threefolds of degree 14, math. AG/9910058.
- [La] Y. Laszlo, Local structure of the moduli space of vector bundles over curves, Comment. Math. Helvetici 71 (1996), 373-401.
- [L] D. Luna, Slices étales, Mém. Soc. Math. France 33 (1973), 81-105.
- [Lu] Z. Luo, Factorization of birational morphisms of regular schemes, Math. Z. 212 (1993), 505-509.
- [M-T] D. Markushevich, A.S. Tikhomirov, The Abel-Jacobi map of a moduli component of vectors bundles on the cubic threefold, math. AG/9809140, to appear in J. Alg. Geom.
- [M] M. Maruyama, Boundedness of semi-stable sheaves of small ranks, Nagoya Math. J. 78 (1980), 65-94.
- [Mum] D. Mumford, Lectures on curves on an algebraic surface, Annals of Math. Sudies 59, Princeton university Press (1966).
- [Mu] J.P. Murre, Some results on cubic threefolds dans Classification of algebraic varieties and compact complex manifolds, Springer-Verlag Lecture Notes 412 (1974), 140-164.
- [O] K. O'Grady, Desingularized moduli spaces of sheaves on a K3, J. Reine Angew Math. 512 (1999), 49-117.
- [S] C. Simpson, Moduli of representations of the fundamental group of a smooth variety, Publ. Math. IHES 79 (1994), 47-129.

Stéphane DRUEL
DMA-École Normale Supérieure
45 rue d'Ulm
75005 PARIS
e-mail: druel@clipper.ens.fr